

*Письма в ЖЭТФ, том 20, вып. 8, стр. 558 – 561*      20 октября 1974 г.

ЗАВИСИМОСТЬ ЧАСТОТЫ ПРЕЦЕССИИ  $\mu^+$ -МЕЗОНА  
В ФЕРРОМАГНЕТИКАХ  
ОТ НАПРЯЖЕННОСТИ ВНЕШНЕГО МАГНИТНОГО ПОЛЯ

*И.И.Гуревич, А.И.Климов, В.Н.Майоров, Е.А.Мелешко  
Б.А.Никольский, А.В.Пирогов, В.И.Селиванов,  
В.А.Суетин*

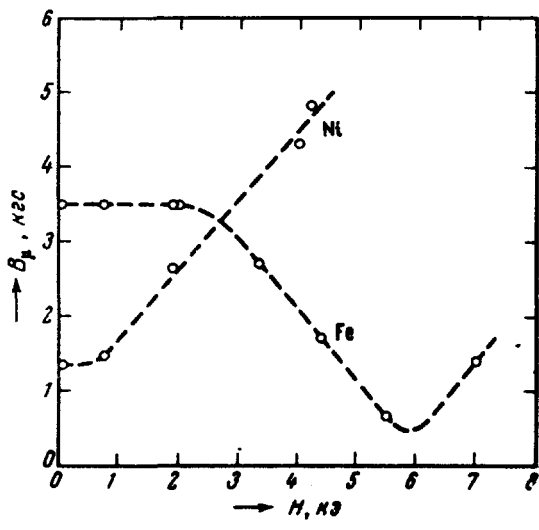
Показано, что локальное магнитное поле на  $\mu^+$ -мезоне в железе направлено против вектора намагниченности  $M$ , в никеле – по направлению  $M$ . Сделана оценка поляризации электронов проводимости в железе:  $p_e > 0,065$ .

Прецессия  $\mu^+$ -мезонов в ферромагнетиках изучалась в ряде работ [1 – 5]. Экспериментально наблюдаемая частота прецессии

$$\omega = \frac{e}{m_\mu c} B_\mu \quad (1)$$

определяет локальное магнитное поле  $B_\mu$  на  $\mu^+$ -мезоне в ферромагнетике. В настоящей работе описывается зависимость  $B_\mu(H)$  от внешнего магнитного поля  $H$ .

Работа была выполнена на пучке поляризованных мюонов синхротрона ОИЯИ в Дубне. Экспериментальная установка описана в [1]. Образец, где останавливались  $\mu^+$ -мезоны, представлял собой эллипсоид вращения диаметром 60 мм и максимальной толщиной 10 мм. Размагничивающий фактор для эллипсоида такой формы равен 0,12. Полюса электромагнита, создающего внешнее магнитное поле  $H$ , имели диаметр 270 мм; расстояние между полюсами 180 мм. Поле  $H$  было направлено перпендикулярно направлению поляризации  $\mu^+$ -мезонов. Прецессия спина  $\mu^+$ -мезона наблюдалась с помощью сцинтилляционных счетчиков методом регистрации позитронов  $\mu^+ \rightarrow e^+$ -распада.



Зависимость  $B_\mu(H)$  для железа и никеля. Плавные кривые проведены по экспериментальным точкам для наглядности. Статистические ошибки  $B_\mu$  не превышают 1%

Экспериментальные зависимости  $B_\mu(H)$  для железа и никеля приведены на рисунке. Зависимость  $B_\mu(H)$  для  $H < 1900$  э была опубликована ранее [1]. Из рисунка видно, что при малых  $H$  ( $H < 700$  э для Ni и  $H < 2000$  э для Fe)  $B_\mu$  не зависит от  $H$ . Это, возможно, объясняется эффектом экранирования. При больших значениях  $H$  зависимость  $B_\mu(H)$  такова, что изменение  $\Delta B_\mu$  при изменении  $\Delta H$  соответствует гиромагнитному отношению свободного  $\mu^+$ -мезона, как это и должно быть для насыщенного ферромагнетика. Немонотонная зависимость  $B_\mu(H)$  для железа — при  $H = 2 + 6$  кз  $B_\mu$  уменьшается с увеличением  $H$  — означает, что намагниченное железо создает на  $\mu^+$ -мезоне магнитное поле, направленное в сторону, противоположную вектору намагниченности  $M$ . В никеле при  $H > 700$  э  $B_\mu$  растет с увеличением  $H$ , т. е. направления  $B_\mu$  и  $H$  всегда совпадают.

Следует отметить, что выполненное в этой работе определение направления  $B_\mu$  в железе не согласуется с определением направления прессии спина  $\mu^+$ -мезона (т. е. направления  $B_\mu$ ) методом сдвига вбок телескопа счетчиков, регистрирующих позитроны  $\mu^+ \rightarrow e^+$ -распада [1].

Правда, степень достоверности определения направления  $B_\mu$  этим последним методом в работе [1] была невелика.

Антипараллельность векторов  $B_\mu$  и  $M$  для железа может быть объяснена действием на спин  $\mu^+$ -мезона контактного поля

$$B_K = \frac{8}{3} \pi \beta |\psi(0)|^2 p_e \quad (2)$$

электронов проводимости, поляризованных против направления намагниченности. Здесь  $p_e$  – поляризация электронов проводимости,  $|\psi(0)|^2$  – электронная плотность на  $\mu^+$ -мезоне,  $\beta$  – магнитный момент электрона. Контактное поле  $B_K$  составляет часть локального поля  $B_\mu$ :

$$B_\mu = B_K + B_g, \quad (3)$$

где  $B_g$  – дипольное магнитное поле намагниченных атомов железа. При определении  $B_g$  следует учесть быструю диффузию  $\mu^+$ -мезонов в железе при комнатной температуре [2], благодаря которой дипольные поля от ближайших к  $\mu^+$ -мезону атомов усредняются и остается только дипольное поле в сфере Лоренца  $B_g = \frac{4}{3} \pi M$ . Считая что намагниченность  $M$  максимальна  $M = M_{\text{нас}}$  ( $M_{\text{нас}} -$  намагниченность насыщения), получим для железа  $B_g = 7 \text{ к} \cdot \text{с}$ . Используя экспериментальное значение  $B_\mu = 3,5 \text{ к} \cdot \text{с}$  (см. рисунок и работу [1]), из соотношения (3) находим  $B_K$ :  $B_\mu = B_K + B_g$ ,  $B_K = 7 + 3,5 = 10,5 \text{ к} \cdot \text{с}$ .

Найденное значение  $B_K = 10,5 \text{ к} \cdot \text{с}$  позволяет определить поляризацию  $p_e$  электронов проводимости в железе. Величина  $p_e$  определяется из формулы (2) и зависит от электронной плотности  $|\psi(0)|^2$  на  $\mu^+$ -мезоне. Максимальное значение  $|\psi(0)|^2 = |\psi(0)|_{M_\mu}^2$  отвечающее связанныму состоянию – атому мюония, при  $p_e = 1$  соответствует  $B_K = 160 \text{ к} \cdot \text{с}$ . Таким образом, минимально возможная поляризация  $p_e$  при  $B_K = 10,5 \text{ к} \cdot \text{с}$  оказывается равной  $(p_e)_{\text{max}} = 0,065$ . При меньшем значении  $|\psi(0)|^2$ , которое может соответствовать "раздутому" мюонию или отсутствию связанныго состояния системы мюон-электрон в железе, величина  $p_e$  получается более высокой. Следует отметить, что минимально возможное значение  $|\psi(0)|^2$  близко к средней величине плотности электронов проводимости в железе, которая лишь в  $\sim 10$  раз (считая по два электрона проводимости на атом) меньше электронной плотности вакуумного мюония. Качественная оценка, проведенная в работе [1], показывает, что в том случае, когда мюоний не образуется,  $|\psi(0)|^2$  для железа равно  $|\psi(0)|^2 \approx 0,3 |\psi(0)|_{M_\mu}^2$ , что приводит к значению  $p_e = 0,2$ .

Большая величина  $p_e$ , полученная в этих расчетах, указывает, возможно, на существование в железе связанныго состояния мюония.

Величина  $p_e$  для никеля определена в работе [1].

## Литература

- [1] И.И.Гуревич, А.И.Климов, В.Н.Майоров, Е.А.Мелешко, И.А.Муратова, Б.А.Никольский, В.С.Роганов, В.И.Селиванов, В.А.Суетин. ЖЭТФ, 66, 374, 1974.
  - [2] И.И.Гуревич, А.И.Климов, В.Н.Майоров, Е.А.Мелешко, Б.А.Никольский, В.С.Роганов, В.И.Селиванов, В.А.Суетин. Письма в ЖЭТФ, 18, 564, 1973.
  - [3] M.L.G.Foy, N.Heiman, W.J.Kossler, C.E.Stonach. Phys. Rev. Lett., 30, 1064, 1973.
  - [4] B.D.Patterson, K.M.Crow, F.N.Gygax, R.F.Johnson, A.M.Portis, J.H.Brewer. Phys. Lett., 46A, 453, 1974.
  - [5] M.B.Stearns. Phys. Lett., 47A, 397, 1974.
-